

ФЕДЕРАЛЬНОЕ ГОСУДАРСТВЕННОЕ БЮДЖЕТНОЕ
ОБРАЗОВАТЕЛЬНОЕ
УЧРЕЖДЕНИЕ ВЫСШЕГО ОБРАЗОВАНИЯ
"МОСКОВСКИЙ ГОСУДАРСТВЕННЫЙ УНИВЕРСИТЕТ
имени М.В. ЛОМОНОСОВА"

ФИЗИЧЕСКИЙ ФАКУЛЬТЕТ
КАФЕДРА ФИЗИКИ ЧАСТИЦ И КОСМОЛОГИИ

МАГИСТЕРСКАЯ ДИССЕРТАЦИЯ
«РОСТ ЛОКАЛИЗОВАННЫХ РЕШЕНИЙ НЕЛИНЕЙНОГО
УРАВНЕНИЯ ШРЕДИНГЕРА.»

Выполнила студентка
243М группы
Дмитриева Екатерина Алексеевна

подпись студента

Научный руководитель:
доктор физ.-мат. наук, профессор
Белокуров Владимир Викторович

подпись научного руководителя

Научный консультант:
кандидат физ.-мат. наук
Панин Александр Григорьевич

подпись научного консультанта

Допущен к защите
Зав. кафедрой _____
подпись зав. кафедрой

Москва
2022

Оглавление

Введение	3
Борновское приближение в задаче одномерного рассеяния на солитоне.	4
Применение метода для конкретной модели.	11
Вычисление поправок.	19
Заключение.	21
Приложение	22
Приложение А: Вычисление интегралов.	22

Введение.

В работе рассматривается взаимодействие налетающего волнового пакета с солитоном. Целью этой работы является разработка аналитического метода описания данного процесса. Численное моделирование рассеяния волнового пакета на солитоне предсказывает рост массы последнего. С помощью разработанного аналитического метода мы намерены вычислить число частиц, оставшихся в солитоне после рассеяния волнового пакета, и сравнить ответ с результатами численного моделирования для разных значений импульса и амплитуды налетающего волнового пакета.

Расчеты проводятся в предположении, что амплитуда налетающего пакета много меньше амплитуды солитона, а также пакет мало меняется в результате рассеяния. В этом случае применимо Борновское приближение [1], в котором решение представляется в виде ряда по амплитуде налетающего пакета. После взаимодействия волнового пакета часть частиц из него оказывается захваченной солитоном. При этом рождаются прошедший и отраженный волновые пакеты, частота которых равняется разности удвоенной частоты налетающего волнового пакета и солитона. Используя законы сохранения, можно показать, что число частиц в них равно числу частиц, захваченных солитоном. Это позволяет вычислить число частиц, захваченных солитоном, косвенно, что значительно упрощает вычисления.

Исследование таких зависимостей полезно при изучении бозе-конденсата, темной материи и в других случаях, где исследуемые объекты являются солитонными решениями, например, в оптике [2]. Данная задача актуальна для описания захвата солитоном частиц из ансамбля, что применимо в различных областях физики. Однако, обычно изучаются взаимодействия между солитонами [5], а не рассеяние отдельной волны на солитонном решении. Также, в некоторых работах обсуждается рост солитонов в ансамбле частиц, но не ясен процесс, ответственный за их рост [4]. Актуальность задачи подчеркивается тем, что ранее взаимодействие волнового пакета и солитонного решения не исследовалось. В работе используется естественная система единиц $\hbar = c = 1$.

Борновское приближение в задаче одномерного рассеяния на солитоне.

Рассмотрим нелинейное уравнение Шредингера:

$$\frac{i\partial\psi}{\partial t} = -\frac{\Delta\psi}{2} + U(\psi^*\psi)\psi \quad (1)$$

Пусть есть солитонное решение, которое удовлетворяет уравнению (1):

$$\psi_s = f(x)e^{-i\gamma t},$$

где $\gamma < 0$ - частота солитона.

Мы хотим изучить взаимодействие солитона и широкого волнового пакета. Поэтому представим искомую волновую функцию в виде: $\psi = \psi_s + \psi_\omega$, где в начальный момент времени

$$\psi_\omega = \psi_\omega^0 = Ae^{-i\omega t + ikx}. \quad (2)$$

Здесь A медленно зависит от t и x . Во всех выражениях ниже будем ее считать постоянной.

$$\frac{i\partial\psi_\omega}{\partial t} + \frac{i\partial\psi_s}{\partial t} = -\frac{\Delta\psi_\omega}{2} - \frac{\Delta\psi_s}{2} + U(|\psi_\omega + \psi_s|^2)(\psi_\omega + \psi_s) + U(|\psi_s|^2)\psi_s - U(|\psi_s|^2)\psi_s, \quad (3)$$

Далее учтем, что ψ_s удовлетворяет уравнению (1), поэтому:

$$\frac{i\partial\psi_\omega}{\partial t} = -\frac{\Delta\psi_\omega}{2} + U(|\psi_\omega + \psi_s|^2)[\psi_\omega + \psi_s] - U(|\psi_s|^2)\psi_s, \quad (4)$$

Будем считать длину волны много меньше размера солитона $\lambda_\omega \ll R_s$. В таком случае может быть применимо приближение Борна, согласно которому, потенциал может рассматриваться как возмущение [1]. Тогда ψ_ω может быть предстала в виде

$$\psi_\omega = \psi_\omega^0 + \delta\psi, \quad (5)$$

где ψ_ω^0 дается выражением (2) и удовлетворяет свободному уравнению Шредингера. В этом случае изменения налетающей волны и солитона после взаимодействия друг с другом будут содержаться в $\delta\psi$. Подставив (5) в (4) получим:

$$\frac{i\partial(\delta\psi)}{\partial t} = -\frac{\Delta\delta\psi}{2} + U(|\psi_\omega^0 + \delta\psi + \psi_s|^2)[\psi_\omega^0 + \delta\psi + \psi_s] - U(|\psi_s|^2)\psi_s \quad (6)$$

Пренебрегая $\delta\psi$ в правой части уравнения (6), получим

$$\frac{i\partial(\delta\psi)}{\partial t} = -\frac{\Delta\delta\psi}{2} + U(|\psi_\omega^0 + \psi_s|^2)[\psi_\omega^0 + \psi_s] - U(|\psi_s|^2)\psi_s \quad (7)$$

Рассмотрим случай, когда $A \ll f$. Тогда правую часть уравнения (7) можно разложить в ряд по ψ_ω^0 :

$$\frac{i\partial(\delta\psi)}{\partial t} = -\frac{\Delta\delta\psi}{2} + U(|\psi|^2)\psi_\omega^0 + \frac{\partial U}{\partial|\psi|^2}|\psi_s + \psi_\omega^0|^2(\psi_s + \psi_\omega^0) + \frac{\partial^2 U}{2\partial|\psi|^4}|\psi_s + \psi_\omega^0|^4(\psi_s + \psi_\omega^0) \quad (8)$$

Оставляем только линейные и квадратичные по A члены, получим

$$\begin{aligned} \frac{i\partial(\delta\psi)}{\partial t} = & -\frac{\Delta\delta\psi}{2} + U(|\psi|^2)\psi_\omega^0 + \frac{\partial U}{\partial|\psi|^2}[\psi_s\psi_\omega^{*0} + \psi_s^*\psi_\omega^0]\psi_s + \\ & + \frac{\partial U}{\partial|\psi|^2}|\psi_\omega^0|^2\psi_s + \frac{\partial U}{\partial|\psi|^2}(\psi_s\psi_\omega^{0*} + \\ & \psi_s^*\psi_\omega^0)\psi_\omega^0 + \frac{\partial^2 U}{2\partial|\psi|^4}(\psi_s\psi_\omega^{*0} + \psi_s^*\psi_\omega^0)^2\psi_s + O(A^3) \end{aligned} \quad (9)$$

Получаем на $\delta\psi$ уравнение с источником, каждое слагаемое в котором можно рассматривать отдельно. Заметим, что слагаемые порядка A определяют поправки, зависящие от времени как $e^{\pm i\omega t}$. Они описывают изменения налетающего волнового пакета, а также определяют отраженный волновой пакет. Слагаемые порядка A также определяют интерференционный член, зависящий от времени как $e^{i(\omega-2\gamma)t}$. Члены порядка A^2 описывают волновые пакеты с частотой $\pm(2\omega - \gamma)$, порождаемые в результате взаимодействия с солитоном. Также член этого порядка описывает изменения солитона в результате взаимодействия.

$$\begin{aligned} \frac{i\partial(\delta\psi)}{\partial t} = & -\frac{\Delta}{2}\delta\psi + U\psi_\omega^0 + \frac{\partial U}{\partial|\psi|^2}(|\psi_\omega^0|^2\psi_s + \psi_s^2\psi_\omega^{0*} + \\ & + 2|\psi_\omega^0|^2\psi_s + \psi_s^*(\psi_\omega^0)^2) + \frac{\partial^2 U}{\partial|\psi|^4} \left((\psi_s^*\psi_\omega^0)^2 + 2|\psi_s|^2|\psi_\omega^0|^2 + (\psi_s\psi_\omega^{0*})^2 \right) \psi_s \end{aligned} \quad (10)$$

Найдем функцию Грина свободного уравнения Шредингера

$$\begin{aligned} \left(i\frac{\partial}{\partial t} + \frac{\Delta}{2}\right)G &= \delta(t)\delta(x) \\ G(t, x) &= \frac{1}{(2\pi)^2} \int dpd\omega e^{-i\omega t + ipx} G_{\omega, p} \end{aligned}$$

$$\left(\omega - \frac{p^2}{2}\right)G_{\omega,p} = 1 \Rightarrow G_{\omega,p} = \frac{1}{\omega - \frac{p^2}{2}}$$

Рассмотрим $t < 0$

$G(t, x) = \int d\omega e^{i\omega|t|}$ - замыкаем контур сверху. Чтобы $G = 0$ для $t < 0$ - обходим полюс сверху. В нашем случае используется запаздывающая функция Грина

$$G = \frac{1}{(2\pi)^2} \int \frac{e^{-i\omega t + ipx}}{\omega - \frac{p^2}{2}} d\omega dp \quad (11)$$

Где дельта-функция определена так:

$$\delta(t) = \frac{1}{2\pi} \int_{-\infty}^{\infty} e^{i\omega t} d\omega$$

Определим преобразование Фурье следующим образом:

$$\begin{aligned} \hat{f}(\omega) &= \int f(x) e^{-ix\omega} dx \\ f(x) &= \frac{1}{2\pi} \int \hat{f}(\omega) e^{ix\omega} d\omega \end{aligned} \quad (12)$$

Запишем решение через функцию Грина:

$$\begin{aligned} \delta\psi &= \int G(t - t', x - x') (U_1 \psi_\omega^0 + U_2 (|\psi_s|^2 \psi_\omega^0 + \psi_s^2 \psi_\omega^{0*} + 2\psi_s |\psi_\omega^0|^2 + \\ &+ \psi_s^* (\psi_\omega^0)^2) + U_3 ((\psi_s^* \psi_\omega^0)^2 + 2|\psi_s|^2 |\psi_\omega^0|^2 + (\psi_s \psi_\omega^{0*})^2) \psi_s) dt' dx' \end{aligned} \quad (13)$$

Подставим функцию Грина и $\psi_\omega^0 = Ae^{-i\omega t + ikx}$, $\psi_s = fe^{-i\gamma t}$. Рассмотрим каждый из членов, соответствующих разным частотам, по отдельности. Далее вместо $\delta\psi$ будем писать ψ . Начнем с члена, зависящего от времени как $e^{i\omega t}$:

$$\psi^{(\omega)} = \frac{A}{(2\pi)^2} \int \frac{e^{-i\Omega(t-t') + ip(x-x')}}{\Omega - \frac{p^2}{2}} \left((U(|\psi_s|^2) + \frac{\partial U}{\partial |\psi|^2} f^2) e^{i\omega t + ikx'} dt' dx' d\Omega dp \right) \quad (14)$$

Обозначим

$$V_1 = U(|\psi_s|^2) + \frac{\partial U}{\partial |\psi|^2} f^2 \quad (15)$$

Делаем замену, показанную выше, и интегрируем по t' . В результате в каждом слагаемом выражения (13) получаем дельта-функцию

$$\psi^{(\omega)} = \frac{A}{2\pi} \int \frac{\delta(\Omega - \omega)}{\Omega - \frac{p^2}{2}} V_1 e^{-i\Omega t} e^{ip(x-x')} e^{ikx'} dp dx' d\Omega \quad (16)$$

Интегрируя по Ω с учетом дельта-функции, получаем

$$\psi^{(\omega)} = \frac{Ae^{-i\omega t}}{2\pi} \int \frac{V_1(x')}{\omega - \frac{p^2}{2}} e^{ix'(k-p)} e^{ipx} dx' dp \quad (17)$$

Сделаем замену в виде преобразования Фурье (12) для каждого из слагаемых

$$\psi^{(\omega)} = Ae^{-i\omega t} \int \frac{\hat{V}_1(k-p)}{\omega - \frac{p^2}{2}} e^{ipx} dp \quad (18)$$

Для того чтобы получить следующее выражение, проинтегрируем уравнение (18), используя теорему Коши. Подробный расчет приведен в Приложении А. В результате получим:

$$\psi^{(\omega)} = \frac{2\pi i A}{k} (e^{-ikx} \hat{V}_1(2k) - e^{ikx} \hat{V}_1(0)) e^{-i\omega t} \quad (19)$$

Первое слагаемое в (19) представляет собой отраженный волновой пакет, в то время как второе слагаемое определяет поправки к налетающему волновому пакету. Из этого выражения видно, что эта поправка не мала, а пропорциональна $\frac{\hat{V}_1(0)}{k}$.

Мы делали замену типа Фурье, теперь сделаем обратную замену, помня про условия, возникающие из-за мнимых полюсов, при интегрировании с помощью теоремы Коши. В итоге для члена, пропорционального $e^{i\omega t}$, получим:

$$\psi^{(\omega)} = \frac{iA}{k} (e^{-ikx} \int V_1(x') e^{2ikx'} dx' - e^{ikx} V_1(x') e^{i0x'}) e^{-i\omega t} \quad (20)$$

Рассмотрим источник, зависящий от времени как $e^{i\omega t - 2i\gamma t}$. Будем действовать также как и с членом, пропорциональным $e^{i\omega t}$

$$\psi^{(\omega-2\gamma)} = \frac{A}{(2\pi)^2} \int \frac{e^{-i\Omega(t-t') + ip(x-x')}}{\Omega - \frac{p^2}{2}} \frac{\partial U}{\partial |\psi|^2} f^2 e^{-2i\gamma t' + i\omega t' - ikx'} dt' dx' d\Omega dp \quad (21)$$

Обозначим

$$V_2 = \frac{\partial U}{\partial |\psi|^2} f^2$$

Тогда

$$\begin{aligned} \psi^{(\omega-2\gamma)} &= \frac{A}{2\pi} \int \frac{\delta(\Omega - 2\gamma + \omega)}{\Omega - \frac{p^2}{2}} V_2 e^{-i\Omega t} e^{ip(x-x')} e^{-ikx'} dp dx' d\Omega = \\ &= \frac{e^{-i(2\gamma-\omega)t}}{2\pi} \int \frac{V_2(x')}{2\gamma - \omega - \frac{p^2}{2}} e^{ix'(-p-k)} e^{ipx} dx' dp = \end{aligned}$$

Сделаем замену $y = x - x'$, $dy = -dx'$, тогда

$$\psi^{(\omega-2\gamma)} = \frac{e^{-i(2\gamma-\omega)}}{2\pi} \int \frac{-V_2(x-y)}{2\gamma - \omega - \frac{p^2}{2}} e^{ipy} e^{-ik(x-y)} dy dp =$$

Теперь посчитаем интеграл с помощью теоремы Коши (подробный расчет приведен в Приложении А), получим

$$\begin{aligned} \psi^{(\omega-2\gamma)} &= \frac{2\pi e^{-i(2\gamma-\omega)}}{\sqrt{k^2 - 4\gamma}} \int \left(-V_2(x-y) e^{-y\sqrt{k^2-4\gamma}} e^{-ik(x-y)} \Big|_{y>0} \right. \\ &\quad \left. - \int V_2(x-y) e^{y\sqrt{k^2-4\gamma}} e^{-ik(x-y)} \Big|_{y<0} \right) dy = \end{aligned}$$

Сделаем обратную замену $x' = x - y$, $dx' = -dy$ и вынесем зависящие от x множители за знак интеграла

$$\begin{aligned} &= \frac{e^{-i(2\gamma-\omega)t}}{\sqrt{k^2 - 4\gamma}} \left(e^{-x\sqrt{k^2-4\gamma}} \int_x^{-\infty} -V_2(x') e^{x'\sqrt{k^2-4\gamma}-ikx'} dx' + \right. \\ &\quad \left. + e^{x\sqrt{k^2-4\gamma}} \int_{+\infty}^x -V_2(x') e^{-x'\sqrt{k^2-4\gamma}-ikx'} dx' \right) \end{aligned} \quad (22)$$

Выражения, пропорциональные $e^{-i2\omega t+i\gamma t}$

$$\psi^{(-2\omega+\gamma)} = \frac{A^2}{(2\pi)^2} \int \frac{e^{-i\Omega(t-t')+ip(x-x')}}{\Omega - \frac{p^2}{2}} \left(\frac{\partial U}{\partial |\psi|^2} f + \frac{\partial^2 U}{2\partial |\psi_s|^4} f^3 \right) e^{-2i\omega t'+2ikx'+i\gamma t'} dt' dx' d\Omega dp \quad (23)$$

Обозначим

$$V_3 = \frac{\partial U}{\partial |\psi|^2} f + \frac{\partial^2 U}{2\partial |\psi_s|^4} f^3.$$

Тогда

$$\begin{aligned} \psi^{(-2\omega+\gamma)} &= \frac{A^2}{2\pi} \int \frac{\delta(\Omega - 2\omega + \gamma)}{\Omega - \frac{p^2}{2}} V_3 e^{-i\Omega t} e^{ipx} e^{i(2k-p)x'} dp dx' d\Omega = \\ &= \frac{A^2 e^{-i(2\omega-\gamma)t}}{2\pi} \int \frac{V_3(x')}{2\omega - \gamma - \frac{p^2}{2}} e^{ipx} e^{i(2k-p)x'} dx' dp = \\ &= A^2 e^{-i(2\omega-\gamma)t} \int \frac{\hat{V}_3(-2k+p)}{2\omega - \gamma - \frac{p^2}{2}} e^{ipx} dp = \end{aligned}$$

$$\begin{aligned}
&= -\frac{2\pi i A^2 e^{-i(2\omega-\gamma)}}{\sqrt{2k^2-2\gamma}} \left(-\hat{V}_3(-2k-\sqrt{2k^2-2\gamma}) e^{-ix\sqrt{2k^2-2\gamma}} + \right. \\
&\quad \left. \hat{V}_3(-2k+\sqrt{2k^2-2\gamma}) e^{ix\sqrt{2k^2-2\gamma}} \right) = \\
&= -\frac{iA^2 e^{-i(2\omega-\gamma)t}}{\sqrt{2k^2-2\gamma}} \left(-\int V_3(x') e^{i(2k+\sqrt{2k^2-2\gamma})x'} dx' e^{-ix\sqrt{2k^2-2\gamma}} + \right. \\
&\quad \left. + \int V_3(x') e^{-i(2k+\sqrt{2k^2-2\gamma})x'} dx' e^{ix\sqrt{2k^2-2\gamma}} \right) \quad (24)
\end{aligned}$$

Аналогично, для $e^{-i\gamma t}$

$$\psi^{(-\gamma)} = \frac{2A^2}{(2\pi)^2} \int \frac{e^{-i\Omega(t-t')+ip(x-x')}}{\Omega - \frac{p^2}{2}} \left(\frac{\partial U}{\partial |\psi|^2} f + \frac{\partial^2 U}{2\partial |\psi_s|^4} f^3 \right) e^{-i\gamma t'} dt' dx' d\Omega dp \quad (25)$$

Используем то же обозначение, что и в случае для $e^{-i2\omega t+i\gamma t}$

$$\begin{aligned}
V_3 &= \frac{\partial U}{\partial |\psi|^2} f + \frac{\partial^2 U}{2\partial |\psi_s|^4} f^3 \\
\psi^{(-\gamma)} &= \frac{2A^2}{2\pi} \int \frac{\delta(\Omega - \gamma)}{\Omega - \frac{p^2}{2}} V_3 e^{-i\Omega t} e^{ip(x-x')} dp dx' d\Omega = \\
&= \frac{2A^2 e^{-i\gamma t}}{2\pi} \int \frac{V_3(x')}{\gamma - \frac{p^2}{2}} e^{ip(x-x')} dx' dp =
\end{aligned}$$

Сделаем такую же замену как и для второго слагаемого и посчитаем интеграл по теореме Коши

$$\psi^{(-\gamma)} = \frac{4A^2 \pi e^{-i\gamma t}}{\sqrt{-2\gamma}} \left(-V_3(x-y) e^{-y\sqrt{-2\gamma}} dy \Big|_{y>0} + V_3(x-y) e^{y\sqrt{-2\gamma}} \Big|_{y<0} \right) +$$

Вернемся обратно к переменной x'

$$\psi^{(-\gamma)} = \frac{2A^2 e^{-i\gamma t}}{\sqrt{-2\gamma}} \left(\int_{-\infty}^x V_3(x') e^{\sqrt{-2\gamma}x'} dx' e^{-x\sqrt{-2\gamma}} - \int_x^{\infty} V_3(x') e^{-x'\sqrt{-2\gamma}} e^{-x\sqrt{-2\gamma}} dx' \right) \quad (26)$$

Член, соответствующий $e^{i2\omega t-i3\gamma t}$

$$\psi^{(2\omega-3\gamma)} = \frac{A^2}{(2\pi)^2} \int \frac{e^{-i\Omega(t-t')+ip(x-x')}}{\Omega - \frac{p^2}{2}} \frac{\partial^2 U}{2\partial |\psi|^4} f^3 e^{-3i\gamma t'+2i\omega t'-2ikx'} dt' dx' d\Omega dp \quad (27)$$

Обозначим

$$V_4 = \frac{\partial^2 U}{2\partial |\psi|^4} f^3$$

$$\begin{aligned}
\psi^{(2\omega-3\gamma)} &= \frac{A^2}{2\pi} \int \frac{\delta(\Omega + 2\omega - 3\gamma)}{\Omega - \frac{p^2}{2}} V_4 e^{-i\Omega t} e^{ipx} e^{-i(2k+p)x'} dp dx' d\Omega = \\
&= \frac{A^2 e^{-i(3\gamma-2\omega)t}}{2\pi} \int \frac{V_4(x')}{3\gamma - 2\omega - \frac{p^2}{2}} e^{ipx} e^{-i(2k+p)x'} dx' dp = \\
&= \frac{2\pi A^2 e^{-i(3\gamma-2\omega)t}}{\sqrt{2k^2 - 6\gamma}} \left(-V_4(x-y) e^{-y\sqrt{2k^2-6\gamma}} e^{-2ik(x-y)} \Big|_{y>0} + \right. \\
&\quad \left. + V_4(x-y) e^{y\sqrt{2k^2-6\gamma}} e^{-ik(x-y)} \Big|_{y<0} \right) = \\
&= \frac{A^2 e^{-i(3\gamma-2\omega)t}}{\sqrt{2k^2 - 6\gamma}} \left(\int_{-\infty}^x V_4(x') e^{-i(2k+i\sqrt{2k^2-6\gamma})x'} dx' e^{-x\sqrt{2k^2-6\gamma}} - \right. \\
&\quad \left. - \int_x^{\infty} V_4(x') e^{ix'(-2k+i\sqrt{2k^2-6\gamma})} e^{x\sqrt{2k^2-6\gamma}} dx' \right) \quad (28)
\end{aligned}$$

Дальнейшее вычисление интегралов зависит от конкретного потенциала.

Применение метода для конкретной модели.

Для дальнейших вычислений рассмотрим нелинейное уравнение Шредингера с определенным потенциалом. В качестве модели, в которой солитонное решение известно аналитически, рассмотрим

$$U = -\frac{\lambda}{2m^2}|\psi_s|^2 + \frac{3g}{8m^3}|\psi_s|^4 \quad (29)$$

Тогда уравнение Шредингера принимает вид

$$\frac{i\partial\psi}{\partial t} = -\frac{\Delta\psi}{2m} - \frac{\lambda}{2m^2}|\psi|^2\psi + \frac{3g}{8m^3}|\psi|^4\psi \quad (30)$$

Сделаем замену:

$$\begin{aligned} \tilde{\psi} &= \psi \sqrt{\frac{4\lambda m}{3g}} \\ \tilde{t} &= \frac{2t\lambda^2}{3mg} \\ \tilde{x} &= \frac{\sqrt{2}x\lambda}{\sqrt{3g}} \end{aligned}$$

Это позволяет избавиться от параметров. В результате уравнение и потенциал принимают вид.

$$\frac{i\partial\tilde{\psi}}{\partial\tilde{t}} + \frac{\Delta\tilde{\psi}}{2} + |\tilde{\psi}|^2\tilde{\psi} - |\tilde{\psi}|^4\tilde{\psi} = 0 \quad (31)$$

$$U = -|\tilde{\psi}|^2 + |\tilde{\psi}|^4 \quad (32)$$

Далее вместо $\tilde{\psi}$ будем писать ψ .

Уравнение (31) с данным потенциалом имеет солитонное решение вида (33), (34), где γ - параметр солитона (его частота) [2]. Решение существует только при значениях параметра $-\frac{3}{16} < \gamma < \infty$, но в нашем случае $\gamma < 0$.

$$\psi_s = f(x)e^{-i\gamma t} \quad (33)$$

$$f = \frac{2\sqrt{-\gamma}}{\sqrt{1 + \sqrt{1 + \frac{16}{3}\gamma} \cosh(2\sqrt{-2\gamma}x)}}, -\frac{3}{16} < \gamma < 0 \quad (34)$$

Вид f при различных γ показан на рисунке 1.

Перепишем выражения для $V_i, i = 1, \dots, 4$ через потенциал (32)

$$V_1 = -2f^2 + 3f^4$$

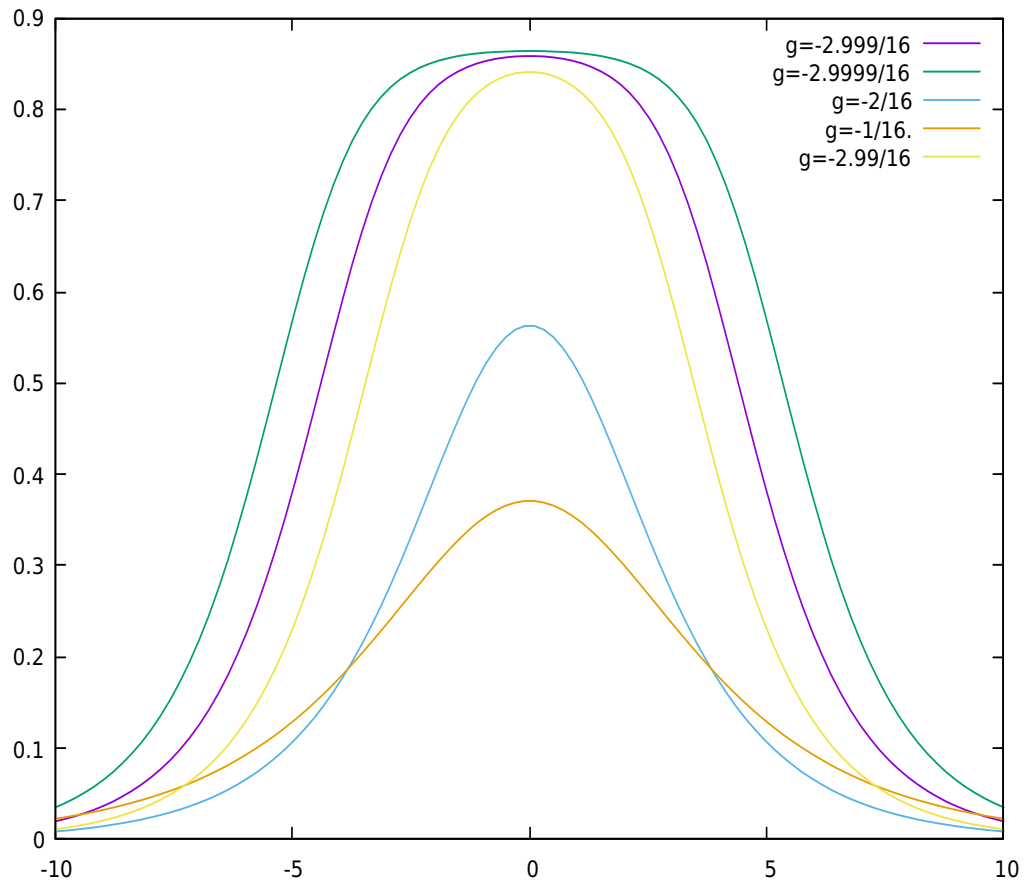


Рис. 1: Зависимость амплитуды солитона f от координаты x для нескольких значений частоты солитона γ

$$\begin{aligned}
V_2 &= -f^2 + 2f^4 \\
V_3 &= -f + 3f^3 \\
V_4 &= f^3
\end{aligned}$$

Так же как и в общем случае рассмотрим каждый из членов, соответствующих разным частотам, по отдельности.

$$\psi^{(\omega)} = \frac{iAe^{-i\omega t}}{k} \left(e^{-ikx} \int (2f^2 - 3f^4) e^{2ikx'} dx' - e^{ikx} (2Af^2 - 3Af^4) e^{i0x'} \right) \quad (35)$$

$$\psi^{(2\gamma-\omega)} = \frac{Ae^{-i(2\gamma-\omega)t}}{\sqrt{k^2-4\gamma}} \int (f^2 - 2f^4) e^{-(i\sqrt{k^2-4\gamma}-k)x'} dx' e^{-x\sqrt{k^2-4\gamma}} \quad (36)$$

$$\begin{aligned}
\psi^{(2\omega-\gamma)} &= -\frac{iA^2e^{-i(2\omega-\gamma)t}}{\sqrt{2k^2-2\gamma}} \left(\int (-f + 3f^3) e^{-i(2k+\sqrt{2k^2-2\gamma})x'} dx' e^{-ix\sqrt{2k^2-2\gamma}} + \right. \\
&\quad \left. + \int (f - 3f^3) e^{i(2k+\sqrt{2k^2-2\gamma})x'} dx' e^{ix\sqrt{2k^2-2\gamma}} \right) \quad (37)
\end{aligned}$$

$$\begin{aligned}
\psi^{(3\gamma-2\omega)} &= \frac{A^2e^{-i(3\gamma-2\omega)t}}{\sqrt{2k^2-6\gamma}} \left(\int f^3 e^{-i(2k+i\sqrt{2k^2-6\gamma})x'} dx' e^{-x\sqrt{2k^2-6\gamma}} + \right. \\
&\quad \left. + \int (-f^3) e^{ix'(-2k+i\sqrt{2k^2-6\gamma})} e^{x\sqrt{2k^2-6\gamma}} dx' \right) \quad (38)
\end{aligned}$$

$$\begin{aligned}
\psi^{(\gamma)} &= \frac{A^2e^{-i\gamma t}}{\sqrt{-2\gamma}} \left(\int (f - 3f^3) e^{\sqrt{-2\gamma}x'} dx' e^{-x\sqrt{-2\gamma}} \right. \\
&\quad \left. - \int (f - 3f^3) e^{-x'\sqrt{-2\gamma}} e^{-x\sqrt{-2\gamma}} dx' \right) \quad (39)
\end{aligned}$$

Рассмотрим прошедшую и отраженную волну с частотами ω и 2ω :

$$\begin{aligned}
\psi^{(\omega)} &= \frac{iAe^{-i\omega t}}{k} \left(e^{-ikx} \int (2f^2 - 3f^4) e^{2ikx'} dx' - e^{ikx} (2f^2 - 3f^4) e^{i0x'} \right) \\
\psi^{(2\omega-\gamma)} &= -\frac{iA^2e^{-i(2\omega-\gamma)t}}{\sqrt{2k^2-2\gamma}} \left(\int (-f + 3f^3) e^{-i(2k+\sqrt{2k^2-2\gamma})x'} dx' e^{-ix\sqrt{2k^2-2\gamma}} \right. \\
&\quad \left. + \int (f - 3f^3) e^{i(2k+\sqrt{2k^2-2\gamma})x'} dx' e^{ix\sqrt{2k^2-2\gamma}} \right)
\end{aligned}$$

Остальные слагаемые являются интерференционными членами и в этом разделе нами не рассматриваются.

Будем искать асимптотику интегралов при $k \rightarrow \infty$ с помощью метода перевала [3]. В общем случае интегралы методом перевала вычисляются по алгоритму:

$$I = \int_{-\infty}^{+\infty} g(t)e^{h(t)} dt = \int_{-\infty}^{+\infty} e^{h(t)+\ln(g(t))} dt = \int_{-\infty}^{+\infty} e^{F(t)} dt,$$

где $F(t) = h(t) + \ln(g(t))$. Далее нужно найти точки перевала из уравнения:

$$F'(t_0) = 0,$$

где t_0 – перевальная точка. Тогда приближенное значение интеграла вычисляется по формуле:

$$I \approx \sqrt{-\frac{2\pi}{F''(t_0)}} e^{F(t_0)}. \quad (40)$$

Точек перевала может быть несколько, тогда вклад от каждой точки вычисляется по формуле (40), а полный интеграл дается их суммой:

$$I = \int_{-\infty}^{+\infty} e^{F(t)} dt \approx \sum_i \sqrt{-\frac{2\pi}{F''(t_i)}} e^{F(t_i)}$$

Рассмотрим прошедшую волну с двойной частотой:

$$I_{2\omega+} = -\frac{iA^2 e^{-i(2\omega-\gamma)t}}{\sqrt{2k^2 - 2\gamma}} e^{ix\sqrt{2k^2-2\gamma}} \int e^{i(2k+\sqrt{2k^2-2\gamma})x' + \ln(f(x')-3f^3(x'))} dx' = \quad (41)$$

$$\begin{aligned} &= -\frac{iA^2 e^{-i(2\omega-\gamma)t}}{\sqrt{2k^2 - 2\gamma}} e^{ix\sqrt{2k^2-2\gamma}} \int e^{F_{2\omega+}(x')} dx' \approx \\ &\approx -\frac{iA^2 e^{-i(2\omega-\gamma)t} e^{ix\sqrt{2k^2-2\gamma}}}{\sqrt{2k^2 - 2\gamma}} e^{i(2k+\sqrt{2k^2-2\gamma})x_0 + \ln(f(x_0)-3f^3(x_0))} \sqrt{-\frac{2\pi}{F''_{2\omega+}(x_0)}}, \quad (42) \end{aligned}$$

где

$$F_{2\omega+}(x') = i(2k + \sqrt{2k^2 - 2\gamma})x' + \ln(f(x') - 3f^3(x')),$$

x_0 является решением уравнения $F'_{2\omega+}(x_0) = 0$, а индекс ” + ” обозначает прошедшую волну:

$$\begin{aligned} i(2k + \sqrt{2k^2 - 2\gamma}) + \frac{288\gamma^2 \sqrt{1 + \frac{16\gamma}{3}} \sinh 2\sqrt{-2\gamma}x_0}{(1 + \sqrt{1 + \frac{16\gamma}{3}} \cosh 2\sqrt{-2\gamma}x_0)^{\frac{5}{2}}} + \frac{4\gamma \sqrt{1 + \frac{16\gamma}{3}} \sinh 2\sqrt{-2\gamma}x_0}{(1 + \sqrt{1 + \frac{16\gamma}{3}} \cosh 2\sqrt{-2\gamma}x_0)^{\frac{3}{2}}} \\ - \frac{48\sqrt{2}(-\gamma)^{\frac{3}{2}}}{(1 + \sqrt{1 + \frac{16\gamma}{3}} \cosh 2\sqrt{-2\gamma}x_0)^{\frac{3}{2}}} + \frac{2\sqrt{-2\gamma}}{(1 + \sqrt{1 + \frac{16\gamma}{3}} \cosh 2\sqrt{-2\gamma}x_0)^{\frac{1}{2}}} = 0 \quad (43) \end{aligned}$$

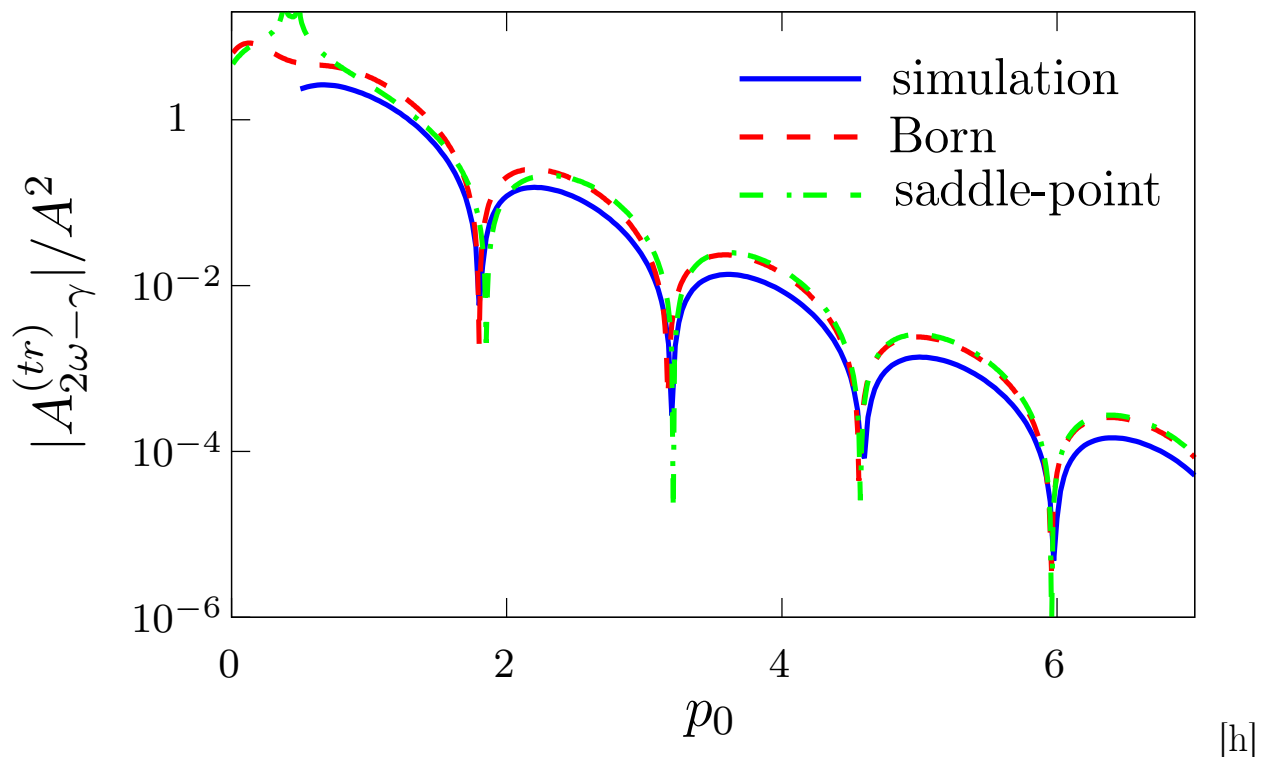


Рис. 2: Сравнение результатов, вычисленных разными способами, для амплитуды прошедшего волнового пакета с двойной частотой. Здесь *simulation* – означает результат численного решения, *Born* – борновское приближение, а *saddle-point* – вычисление интегралов методом перевала. Расчеты проводятся для $\gamma = -\frac{2.999}{16}$.

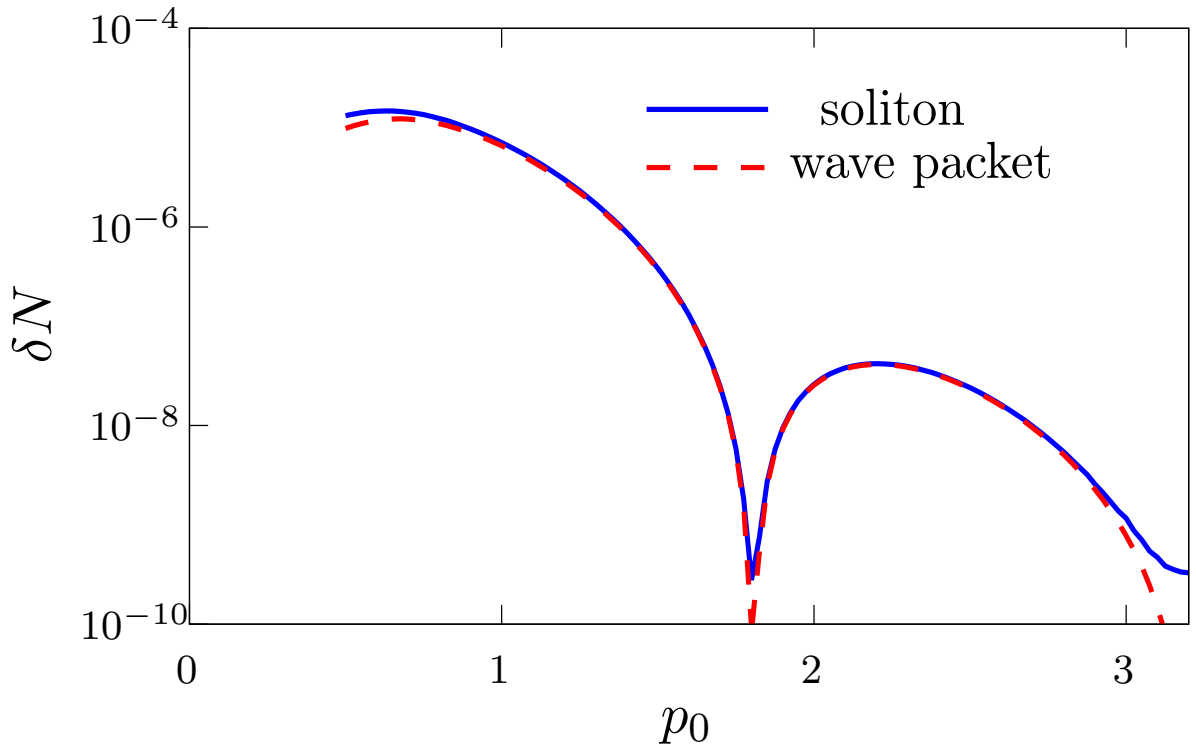


Рис. 3: Сравнение числа частиц, поглощенных солитоном, и числа частиц в прошедшем волновом пакете с двойной частотой. Расчеты проводятся для $\gamma = -\frac{2.999}{16}$.

Дальнейшее решение проводится в программе Wolfram Mathematica, сравнение результата работы которой с численным решением той же задачи представлено на графике (2). На графике (3) представлено сравнение числа частиц, поглощенных солитоном и числа частиц в волновом пакете. Этот рисунок доказывает, что для того, чтобы посчитать число частиц, поглощенных солитоном, нужно вычислить число частиц в прошедшем пакете с двойной частотой.

$$\begin{cases} \delta N_\gamma + \delta N_\omega + \delta N_{2\omega-\gamma} = 0. \\ \delta E_\gamma + \delta E_\omega + \delta E_{2\omega-\gamma} = 0 \end{cases}$$

Но $\delta E_\gamma = \gamma \delta N_\gamma$ – верно для солитона. На линейных уравнениях для волны верно $\delta E_\omega = \omega \delta N_\omega$.

$$\begin{aligned} \gamma \delta N_\gamma + \omega \delta N_\omega + (2\omega - \gamma) \delta N_{2\omega-\gamma} &= 0 \\ \omega(-\delta N_\gamma - \delta N_{2\omega-\gamma}) &= -\gamma \delta N_\gamma + (\gamma - 2\omega) \delta N_{2\omega-\gamma} \\ \delta N_\gamma(\gamma - \omega) &= (\gamma - \omega) \delta N_{2\omega-\gamma} \\ \Rightarrow \delta N_\gamma &= \delta N_{2\omega-\gamma} \end{aligned}$$

Здесь δN_γ – изменение числа частиц в солитоне с частотой γ , δN_ω – изменение числа частиц в налетающей волне с частотой ω , $\delta N_{2\omega-\gamma}$ – изменение числа частиц в волне с частотой $2\omega-\gamma$. δE_γ – изменение энергии солитона с частотой γ , δE_ω – изменение энергии волны с частотой ω , $\delta E_{2\omega-\gamma}$ – изменение энергии волны с частотой $2\omega-\gamma$. Отсюда видно, что число частиц, "застрявших" в солитоне, совпадает с числом частиц с частотой $2\omega-\gamma$.

Аналогичные вычисления производятся для оставшихся двух интегралов:

$$\begin{aligned}
I_{2\omega-} &= -\frac{iA^2 e^{-i(2\omega-\gamma)t}}{\sqrt{2k^2-2\gamma}} e^{-ix\sqrt{2k^2-2\gamma}} \int e^{-i(2k+\sqrt{2k^2-2\gamma})x'+\ln(-f(x')+3f^3(x'))} dx' = \\
&= -\frac{iA^2 e^{-i(2\omega-\gamma)t}}{\sqrt{2k^2-2\gamma}} e^{-ix\sqrt{2k^2-2\gamma}} \int e^{F_{2\omega-}(x')} dx' \approx \\
&\approx -\frac{iA^2 e^{-i(2\omega-\gamma)t} e^{-ix\sqrt{2k^2-2\gamma}}}{\sqrt{2k^2-2\gamma}} e^{-i(2k+\sqrt{2k^2-2\gamma})x_0+\ln(-f(x_0)+3f^3(x_0))} \sqrt{-\frac{2\pi}{F''_{2\omega-}(x_0)}},
\end{aligned} \tag{44}$$

$$\tag{45}$$

где

$$F_{2\omega-}(x') = -i(2k + \sqrt{2k^2 - 2\gamma})x' + \ln(-f(x') + 3f^3(x')),$$

а индекс " - " обозначает отраженную волну:

$$\begin{aligned}
-i(2k + \sqrt{2k^2 - 2\gamma}) + \frac{-\frac{288\gamma^2 \sqrt{1+\frac{16\gamma}{3}} \sinh 2\sqrt{-2\gamma}x_0}{(1+\sqrt{1+\frac{16\gamma}{3}} \cosh 2\sqrt{-2\gamma}x_0)^{\frac{5}{2}}} - \frac{4\gamma \sqrt{1+\frac{16\gamma}{3}} \sinh 2\sqrt{-2\gamma}x_0}{(1+\sqrt{1+\frac{16\gamma}{3}} \cosh 2\sqrt{-2\gamma}x_0)^{\frac{3}{2}}}}{\frac{48\sqrt{2}(-\gamma)^{\frac{3}{2}}}{(1+\sqrt{1+\frac{16\gamma}{3}} \cosh 2\sqrt{-2\gamma}x_0)^{\frac{3}{2}}} - \frac{2\sqrt{-2\gamma}}{(1+\sqrt{1+\frac{16\gamma}{3}} \cosh 2\sqrt{-2\gamma}x_0)^{\frac{1}{2}}}} = 0
\end{aligned} \tag{46}$$

Решение для отраженного пакета с двойной частотой представлена на рисунке (4). Для отраженной волны с одинарной частотой приближение будет выглядеть так:

$$\begin{aligned}
I_{\omega-} &= \frac{ie^{-i\omega t-ikx}}{k} \int e^{2ikx'+\ln(2Af^2(x')-3Af^4(x'))} dx' = \frac{ie^{-i\omega t-ikx}}{k} \int e^{F_{\omega-}(x')} dx' \approx \\
&\approx \frac{ie^{-i\omega t-ikx}}{k} e^{2ikx_0+\ln(2Af^2(x_0)-3Af^4(x_0))} \sqrt{-\frac{2\pi}{F''_{\omega-}(x_0)}},
\end{aligned} \tag{47}$$

где

$$F_{\omega-}(x') = 2ikx' + \ln(2Af^2(x') - 3Af^4(x'))$$

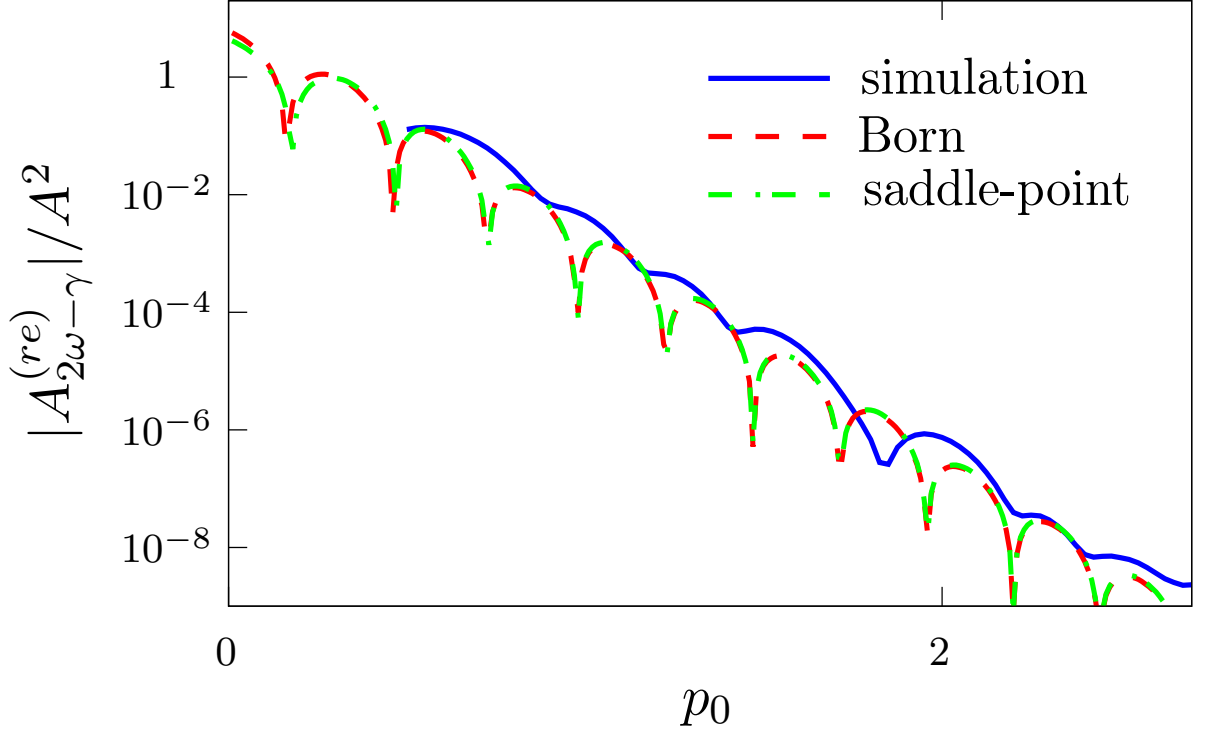


Рис. 4: Результаты численного и аналитического решений для отраженного волнового пакета с двойной частотой. Расчеты проводятся для $\gamma = -\frac{2.999}{16}$.

$$F'(x_0) = 0 :$$

$$2ik + \frac{\frac{192\sqrt{-2\gamma}\gamma^2\sqrt{1+\frac{16\gamma}{3}}\sinh(2\sqrt{-2\gamma}x_0)}{(1+\sqrt{1+\frac{16\gamma}{3}}\cosh(2\sqrt{-2\gamma}x_0))^3} + \frac{16\sqrt{-2\gamma}\gamma\sqrt{1+\frac{16\gamma}{3}}\sinh(2\sqrt{-2\gamma}x_0)3}{(1+\sqrt{1+\frac{16\gamma}{3}}\cosh(2\sqrt{-2\gamma}x_0))^2}}{-\frac{48\gamma^2}{(1+\sqrt{1+\frac{16\gamma}{3}}\cosh(2\sqrt{-2\gamma}x_0))^2} - \frac{8\gamma}{(1+\sqrt{1+\frac{16\gamma}{3}}\cosh(2\sqrt{-2\gamma}x_0))}} = 0 \quad (48)$$

Решение для этого случая представлено на рисунке (5).

Для прошедшей волны с одинарной частотой метод перевала неприменим, так как в данном случае экспонента равна 1, поэтому его можно посчитать аналитически.

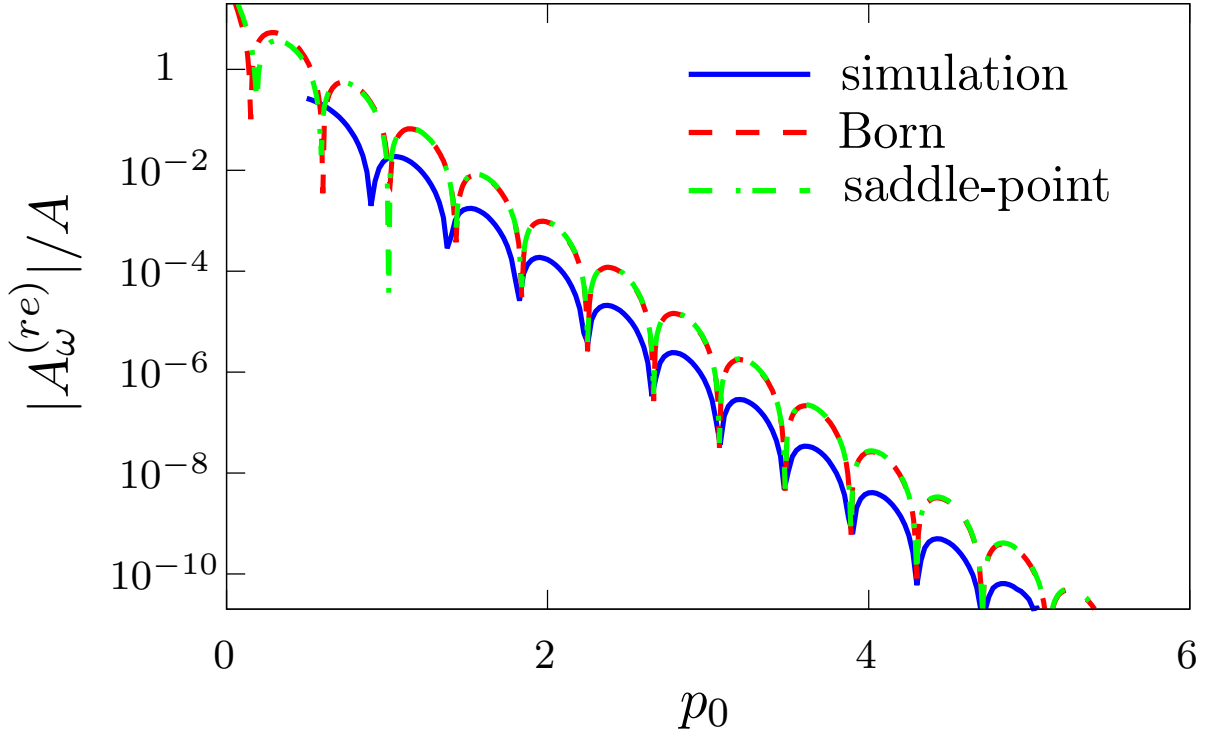


Рис. 5: Результаты численного и аналитического решений для отраженного волнового пакета с одинарной частотой. Расчеты проводятся для $\gamma = -\frac{2.999}{16}$.

Вычисление поправок.

В данном случае могут существовать поправки двух типов. Первый – это уточнение результатов за счет подстановки решений (42) и (45) в уравнение (9) вместо ψ_ω^0 в источник, генерирующий эти решения. Эти поправки получаются очень малы по сравнению с самими решениями, поэтому мы их учитывать не будем. Второй тип поправок – это поправки из интерференционных членов. Вследствие того, что при вычислении интегралов при помощи теоремы Коши, получаются мнимые полюса, возникают условия на переменные интегрирования. Поэтому мы не можем рассчитать интегралы и подставляем не результат вычислений этих интегралов, а сами выражения. Чтобы посчитать поправку, необходимо подставить интерференционный член в правую часть уравнения (9) в то слагаемое, которое ответственно за появление данного интерференционного члена. Получаются двойные интегралы, с одним переменным пределом. Например, из интерференционного члена с частотой $2\gamma - \omega$ получаются поправки к прошедшей и отраженной волнам с одинарной частотой. Этот интеграл выглядит так:

$$I_\omega^{popr} = \frac{iAe^{-i\omega t}}{k\sqrt{k^2 - 4\gamma}} \left(e^{ikx} \left(- \int_{-\infty}^{+\infty} V_\omega(x') e^{x'(ik - \sqrt{k^2 - 4\gamma})} \times \right. \right.$$

$$\begin{aligned}
& \times \int_{x'}^{-\infty} V_2(x'') e^{x''(ik+\sqrt{k^2-4\gamma})} dx' dx'' + \\
& + \int_{-\infty}^{+\infty} V_\omega(x') e^{x'(ik+\sqrt{k^2-4\gamma})} \int_{+\infty}^{x'} V_2(x'') e^{-x''(-ik+\sqrt{k^2-4\gamma})} dx' dx'' + \quad (49) \\
& + e^{ikx} \left(\int_{-\infty}^{+\infty} V_\omega(x') e^{-x'(ik+\sqrt{k^2-4\gamma})} \int_{x'}^{-\infty} V_2(x'') e^{x''(ik+\sqrt{k^2-4\gamma})} dx' dx'' + \right. \\
& \left. + \int_{-\infty}^{+\infty} V_\omega(x') e^{x'(-ik+\sqrt{k^2-4\gamma})} \int_{+\infty}^{x'} V_2(x'') e^{-x''(-ik+\sqrt{k^2-4\gamma})} dx' dx'' \right),
\end{aligned}$$

где $V_\omega = f^2 - 2f^4$, а $V_2 = (f^2 - 2f^4)$. Результат этих вычислений того же порядка, что и решение, к которому мы считаем поправку. Данные поправки описывают изменения фазы волновых пакетов в результате взаимодействия с солитоном.

Этот факт можно проиллюстрировать на простом примере. Рассмотрим эволюцию волнового пакета с учетом нелинейных членов:

$$\begin{aligned}
\frac{i\partial\psi}{\partial t} &= -\frac{\Delta\psi}{2} - |\psi|^2\psi + |\psi|^4\psi \\
\psi &= Ae^{-i\omega t+ikx}
\end{aligned}$$

Для закона дисперсии получаем:

$$\left(\omega - \frac{k^2}{2}\right) = -A^2 + A^4$$

Отсюда видно как связана частота и амплитуда в простом случае только для ψ_ω^0 , но у нас есть еще взаимодействие с солитоном, что значительно усложняет эту связь. Вследствие этого усложняется вопрос о разделении числа части и изменения фазы.

В итоге получается, что несмотря на то, что мы можем найти поправки, они либо малы, либо неотделимы от фазы, поэтому в данной работе мы их не учитываем.

Заключение.

В работе представлен метод, основанный на Борновском приближении, применимый для описания процесса взаимодействия солитона с налетающим волновым пакетом. Показано, что в результате взаимодействия рождаются волновые пакеты с большей частотой, число частиц в которых равно числу частиц, захваченных солитоном. Это дает простой способ вычисления изменения числа частиц солитона. Предложенный метод подтверждем сравнением с результатами численного моделирования.

Приложение

Приложение А: Вычисление интегралов.

Рассмотрим подробно интегрирование (18) с помощью теоремы Коши. Так как все интегралы имеют вид $\int_{-\infty}^{+\infty} R(x)e^{i\lambda x} dx$, то к ним применима Лемма Жордана. Поэтому мы можем посчитать интеграл по формуле:

При $\lambda > 0$:

$$\int_{-\infty}^{+\infty} R(x)e^{i\lambda x} dx = 2\pi i \sum_{k=1}^n \operatorname{Res}_{z=z_k} [R(z)e^{i\lambda z}], \operatorname{Im} z_k > 0$$

При $\lambda < 0$:

$$\int_{-\infty}^{+\infty} R(x)e^{i\lambda x} dx = -2\pi i \sum_{k=1}^n \operatorname{Res}_{z=z_k} [R(z)e^{i\lambda z}], \operatorname{Im} z_k < 0$$

Найдем полюса для каждого из слагаемых выражения (18). Далее для каждого полюса найдем соответствующий вычет и, так как все полюса являются полюсами первого порядка, то их можно вычислить по формуле:

$$\operatorname{Res}_{z_0} \frac{\phi(z)}{\psi(z)} = \frac{\phi(z_0)}{\psi'(z_0)}, \quad (50)$$

где z_0 - полюс первого порядка. В дальнейших вычислениях нам понадобится дисперсионное соотношение $2\omega = k^2$. Рассмотрим каждое из слагаемых выражения (18) отдельно:

$$I_1 = \int \frac{V_1(k-p)}{\omega - \frac{p^2}{2}} e^{ipx} dp \quad (51)$$

Полюса $p = \pm\sqrt{2\omega} = \pm\sqrt{k^2} = \pm k$ Согласно (50) вычеты для I_1 можно получить по формуле (для остальных слагаемых вычеты считаются по аналогичному принципу)

$$\operatorname{Res}_{I_1} = \frac{V_1(k-p)}{p} e^{ipx}$$

Тогда результатом интегрирования для I_1 будет:

$$I_1 = \frac{2\pi i}{k} (e^{-ikx} V_1(2k) - e^{ikx} V_1(0))$$

Рассмотрим второе слагаемое, здесь мы не делали замену Фурье, поэтому выражение имеет другой вид:

$$I_2 = \int \frac{V_3(x-y)}{2\omega - \gamma - \frac{p^2}{2}} e^{ipy} e^{-ik(x-y)} dp dy$$

Полюса $p = \pm\sqrt{4\gamma - 2\omega} = \pm i\sqrt{k^2 - 4\gamma}$. Так как полюса мнимые, то показатель экспоненты для вычетов будет действительным и вследствие этого возникают дополнительные условия на полученные результаты

$$I_2 = \frac{2\pi}{\sqrt{k^2 - 4\gamma}} \left(V_2(x-y) e^{-y\sqrt{k^2-4\gamma}} e^{-ik(x-y)} dy \Big|_{y>0} - \right. \\ \left. - V_2(x-y) e^{y\sqrt{k^2-4\gamma}} e^{-ik(x-y)} dy \Big|_{y<0} \right)$$

Перейдем к третьему слагаемому

$$I_3 = \int \frac{V_3(-2k+p)}{2\omega - \gamma - \frac{p^2}{2}} e^{ipx} dp$$

Полюса $p = \pm\sqrt{4\omega - 2\gamma} = \pm\sqrt{2k^2 - 2\gamma}$. Тогда

$$-\frac{2\pi i}{\sqrt{2k^2 - 2\gamma}} \left(-V_3(-2k - \sqrt{2k^2 - 2\gamma}) e^{-ix\sqrt{2k^2-2\gamma}} + V_3(-2k + \sqrt{2k^2 - 2\gamma}) e^{ix\sqrt{2k^2-2\gamma}} \right)$$

Четвертое слагаемое имеет вид

$$I_4 = \int \frac{V_4(x-y)}{3\gamma - 2\omega - \frac{p^2}{2}} e^{ipy} e^{-2ik(x-y)} dp dy$$

Полюса $p = \pm\sqrt{6\gamma - 4\omega} = \pm i\sqrt{2k^2 - 6\gamma}$. Как и в случае второго слагаемого полюса мнимые, поэтому появятся дополнительные условия на y

$$I_4 = \frac{2\pi}{\sqrt{2k^2 - 6\gamma}} \left(-V_4(x-y) e^{-y\sqrt{2k^2-6\gamma}} e^{-2ik(x-y)} \Big|_{y>0} + \right. \\ \left. + V_4(x-y) e^{y\sqrt{2k^2-6\gamma}} e^{-2ik(x-y)} \Big|_{y<0} \right)$$

Перейдем к рассмотрению последнего слагаемого

$$I_5 = \int \frac{V_3(x-y)}{\gamma - \frac{p^2}{2}} e^{ipy} dp dy$$

Полюса $p = \pm i\sqrt{2\gamma}$ - мнимые, следовательно, результатом интегрирования будет

$$I_4 = \frac{2\pi}{\sqrt{-2\gamma}} \left(-V_3(x-y)e^{-y\sqrt{-2\gamma}} \Big|_{y>0} + V_3(x-y)e^{y\sqrt{-2\gamma}} \Big|_{y<0} \right)$$

В итоге суммирования всех результатов получим:

$$\begin{aligned} \delta\psi = & \frac{2\pi Ai}{k} (e^{-ikx}V_1(2k) - e^{ikx}V_1(0))e^{-i\omega t} + \\ & + \frac{2\pi Ae^{-i(2\gamma-\omega)}}{\sqrt{k^2-4\gamma}} (V_2(x-y)e^{-y\sqrt{k^2-4\gamma}}e^{-ik(x-y)}dy \Big|_{y>0} - \\ & - V_2(x-y)e^{y\sqrt{k^2-4\gamma}}e^{-ik(x-y)}dy \Big|_{y<0}) - \\ & - \frac{2\pi A^2 ie^{-i(2\omega-\gamma)}}{\sqrt{2k^2-2\gamma}} (-V_3(-2k-\sqrt{2k^2-2\gamma})e^{-ix\sqrt{2k^2-2\gamma}} + \\ & + V_3(-2k+\sqrt{2k^2-2\gamma})e^{ix\sqrt{2k^2-2\gamma}}) + \\ & + \frac{2\pi A^2 e^{-i(3\gamma-2\omega)t}}{\sqrt{2k^2-6\gamma}} (-V_4(x-y)e^{-y\sqrt{2k^2-6\gamma}}e^{-2ik(x-y)} \Big|_{y>0} + \\ & + V_4(x-y)e^{y\sqrt{2k^2-6\gamma}}e^{-2ik(x-y)} \Big|_{y<0}) + \\ & + \frac{2\pi A^2 e^{-i\gamma t}}{\sqrt{-2\gamma}} (-V_3(x-y)e^{-y\sqrt{-2\gamma}} \Big|_{y>0} + V_3(x-y)e^{y\sqrt{-2\gamma}} \Big|_{y<0}) \end{aligned} \quad (52)$$

Литература

- [1] Ландау Л.Д., Лифшиц Е.М. **Теоретическая физика: Учеб. пособ.: Для вузов. В 10 т. Т.III. Квантовая механика (нерелятивистская теория)** / Под ред. Л.П. Питаевского. – 6-е изд., испр. – М.: ФИЗМАТЛИТ, 2017. – 800с.
- [2] Ахметдиев Н.Н., Анкевич А. **Солитоны.** – М.:ФИЗМАТЛИТ, 2003. – 304с.
- [3] Федорюк М.В. **Метод перевала.** – 1977. – 366с.
- [4] B. Eggemeier and J. C. Niemeyer, Phys. Rev. D **100** (2019) no.6, 063528 doi:10.1103/PhysRevD.100.063528 [arXiv:1906.01348 [astro-ph.CO]].
- [5] J. L. Gervais and A. Jevicki, Nucl. Phys. B **110** (1976), 113-152 doi:10.1016/0550-3213(76)90423-5